

# ANALIZA MIKROSTRUKTURE KOMPOZITOVA AISI7-SiC, IZDELANIH PO POSTOPKU TIKSOTROPNEGA ULIVANJA

## THE MICROSTRUCTURE ANALYSIS OF AISI7-SiC COMPOSITES MADE BY THIXOCASTING PROCESS

REBEKA RUDOLF, A. KRI@MAN

Fakulteta za strojništvo, Smetanova 17, 2000 Maribor

Prejem rokopisa - received: 1997-10-01; sprejem za objavo - accepted for publication: 1997-12-19

Pri postopku tiksotropnega ulivanja intenzivno mečamo trdno in tekočo fazo v dvofaznem področju, saj imer preprečimo normalno rast dendritov in povzročimo nastanek  $\alpha$ -globulitnih zrn. Ta postopek se edalje več uporablja pri izdelavi kompozitov, saj se dodani delci SiC gravitacijsko ne posedajo, prav tako pa ne splavajo na površino taline. Opazimo tudi izboljšanje stopnje omočljivosti ter enakomerno porazdelitev delcev SiC v kovinski osnovi. V tem prispevku podajamo analizo mikrostrukture izdelanega kompozita AISI7-SiC. Raziskave so pokazale, da je enakomerna porazdelitev delcev SiC v kovinski osnovi odvisna od prostorninskega deleža teh delcev, -asno izotermnega mečanja, temperature dvofaznega področja in hitrosti ohlajevanja s temperaturo dvofaznega področja do sobne temperature. Prav tako pa je tudi stopnja sferoidizacije primarne faze  $\alpha_{Al}$  močno odvisna od deleža in oblike delcev SiC.

Ključne besede: tiksotropno ulivanje, kompoziti AISI7-SiC, globulitna mikrostruktura

Thixocasting is a novel process where liquid and solid phase of an alloy are vigorously stirred. The normal growing of dendrites is hindered and  $\alpha$  primary globular crystals evolve. Materials produced in this way are very suited for metal matrix composites. By this procedure one achieves better homogeneity and wettability of reinforcement elements. It was found that a variety of ceramic particulates could be added to the semisolid slurry and kept in suspension without floating or settling. This paper deals with microstructure analysis of composites AISI7-SiC made by thixocasting procedure. Results show that homogeneous distribution of SiC in matrix depends on volume fraction of SiC, particle size and morphology of SiC, isothermal stirring time, temperature in the semi-solid and cooling velocity from semi-solid to room temperature. The degree of spheroidization of  $\alpha_{Al}$  primary grains is strongly influenced by the presence of SiC elements.

Key words: thixocasting, AISI7-SiC composites, globular microstructure

### 1 UVOD

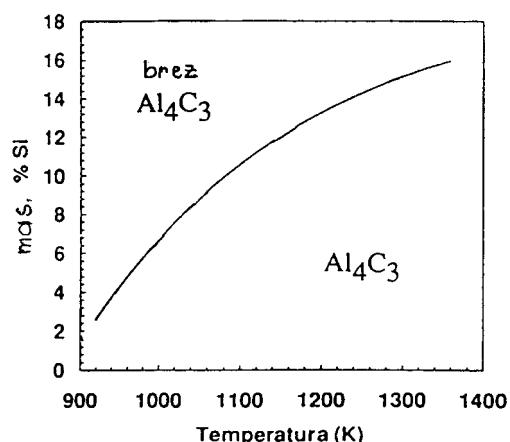
Danes ima tehnologiji pomen postopek tiksotropnega ulivanja predvsem za aluminijeve zlitine, saj imajo običajno uporabe tlačnega litja, vedno bolj pa ga uporabljajo pri izdelavi kompozitov. Tiksotropno ulivanje je relativno enostavno in poceni, ker ga je mogočno dograditi in uporabiti na vse obstoječe napravah.

Kontrolirana viskoznost suspenzij v področju  $L+\alpha$  omogoča izdelavo izvrstnih izhodnih materialov za kompozite, saj dodani elementi za utrjevanje ne splavajo na površino taline in se gravitacijsko ne posedajo<sup>1</sup>. Izboljšana je tudi omočljivost med delci in talino. Pri vgradnji delcev SiC v talino istega aluminija nastaja pri temperaturah nad 923 K (650°C) stabilna spojina  $Al_3C_4$ , nastali silicij pa difundira v talino<sup>2</sup>. Nastala spojina  $Al_3C_4$  otevrije litje, hkrati pa predstavlja nukleacijska mesta za korozijo. Če dodamo aluminiju nekaj silicija, izboljšamo stabilnost SiC v takih aluminijevih talini. To prikazuje slika 1<sup>2</sup>. Pri kompozitih AISI7, ki so utrjeni z delci SiC in ki so izdelani pod temperaturo 1020 K (747°C), tako ne nastaja spojina  $Al_4C_3$ . To pomeni, da je uporaba zlitine AISI7 za kompozite s kovinsko osnovo.

Ker smo za izdelavo kompozitov uporabili mečanje taline v poltekočem stanju, so bile temperature relativno nizke. Mečali smo jo v zavetni atmosferi. Na mejnih

površinah med delci SiC in osnovno aluminijevu zlitino so nastali večinoma oksidi, saj je zreagirala samo zunanjega plast delcev SiC, tj.  $SiO_2$ . V mikrostrukturi nismo opazili spojine  $Al_4C_3$ .

V delu smo podrobno raziskali procesne parametre, ki vplivajo na mikrostrukturo kompozitov. Za kovinske osnove smo uporabili tri aluminijevne zlitine: AISI7,



Slika 1: Odvisnost koncentracij Si v talini aluminija od temperatur, pri katerih je delec SiC stabilen in kjer ne nastane  $Al_4C_3$ <sup>2</sup>

Figure 1: Ranges of Si concentration and temperature for which SiC is stable and  $Al_4C_3$  forms<sup>2</sup>

AISi7Mg in AISi7MgSr, ki smo jih utrjevali z znanim prostorninskim delejem SiC. Spremljali smo procese, ki potekajo v za- etni fazi vgrajevanja delcev SiC v matrico aluminijeve zlitine. Ovrednotili pa smo tudi reakcijske produkte na mejnih površinah med komponentama.

## 2 EKSPERIMENTALNO DELO

Kemijsko sestavo zelo -istih aluminijevih zlitin in delcev SiC prikazuje **tabela 1**. Delce SiC velikostnega razreda 50 µm izdeluje podjetje Norton iz Norveške, 10 µm SiC pa proizvaja Aldrich Chemical Company, Inc. - ZDA. Pri izdelavi kompozitov smo upoštevali raziskane procesne parametre tiksotropnega ulivanja na mikrostrukturo zlitine AISi7<sup>3</sup>.

**Tabela 1:** Kemijska sestava Al-zlitin in delcev SiC (mas.%)  
**Table 1:** Chemical composition of the Al-alloys and SiC particles used (wt.%)

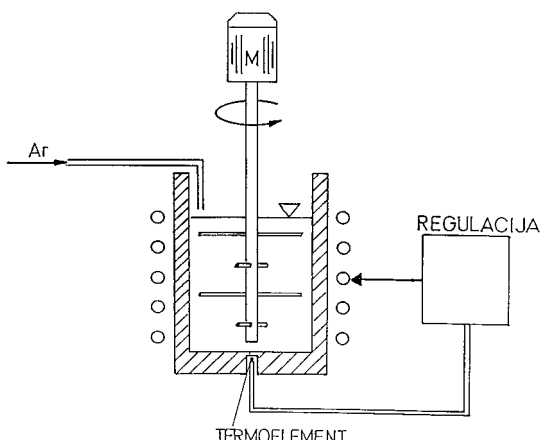
	Si	Fe	Mg	Sr	Ti	Mn	Al
AISi7	6,6	0,27	-	-	0,001	0,07	razlika
AISi7Mg	7,08	0,005	0,39	-	0,104	0,005	razlika
AISi7Mg s Sr	7,05	0,13	0,27	0,34	0,124	0,003	razlika
	Si prosti	Fe	SiO <sub>2</sub>	C prosti	SiC		
SiC 50 µm	0,3-0,6	0,08-0,1	0,3-0,8	0,2-0,4	Razlika		
SiC 10 µm	0,15	0,08	0,56	0,26	Razlika		

Izdelali in raziskali smo naslednje kompozite:

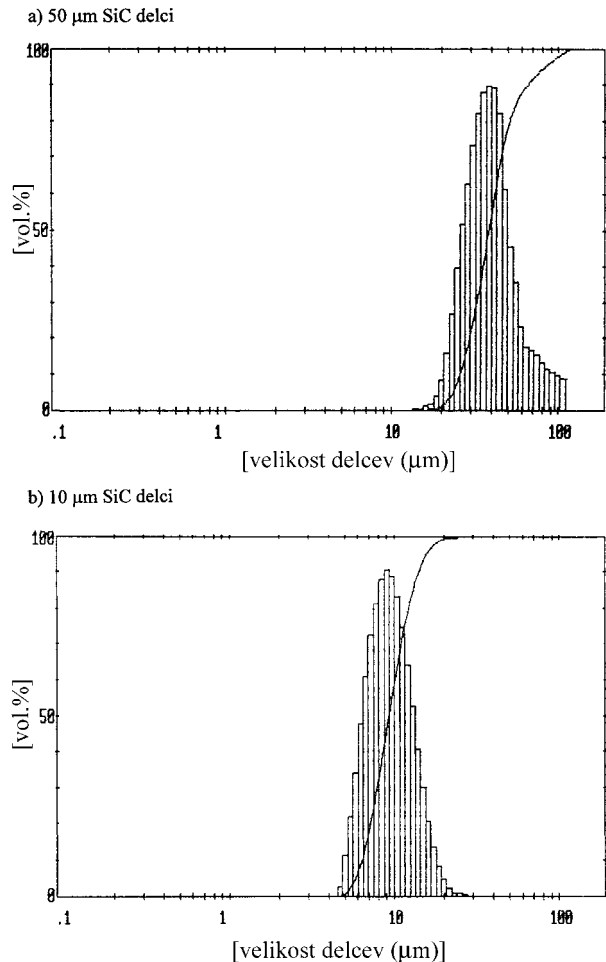
1. AISi7, utrjen z 10 in 20 prost. % 50 µm SiC
2. kompozite, utrjene z 10 µm delci SiC:
  - AISi7, utrjen z 20 prost. % SiC
  - AISi7Mg, utrjen z 20 prost. % SiC
  - AISi7MgSr, utrjen z 20 prost. % SiC

### 2.1 Izdelava kompozitov AISi7, utrjenih z 10 in 20 prost. % 50 µm SiC

Zlitino AISi7 smo pretalili pri 640°C in jo prelili v grafitni lonec eksperimentalne naprave (**slika 2**), kjer je



**Slika 2:** Naprava za mehanično mejanje taline  
**Figure 2:** Mechanical stirrer



**Slika 3:** Porazdelitev velikosti delcev SiC: a) 50 µm in b) 10 µm  
**Figure 3:** Distribution of average size of SiC particles: a) 50 µm and b) 10 µm

potevalo mehansko mejanje taline v za- itni argonski atmosferi. Grafitni lonec je bil segret na temperaturo taline. Zlitino smo mejali s hitrostjo 600 vrtljajev na minuto.

Med mejanjem smo zlitino AISi7 ohlajali s hitrostjo 2°C/min od temperature 640°C do 615°C in jo izotermno mejali 30 minut. Nato smo dodali delce SiC, ki smo jih 'e prej segrevali 3 ure pri temperaturi 615°C. S tem smo zagotovili dovolj debelo oksidno plast SiO<sub>2</sub> na delcih SiC. Debelino oksidne plasti smo izmerili z elektronskim mikroskopom in je bila 0,6 µm. Porazdelitev velikosti delcev SiC, ki je bila ugotovljena v Talum-u Kidri-evo na napravi Malvern Instruments, prikazuje **slika 3a**. Kompozit smo nadalje izotermno mejali z enako hitrostjo. Vzorce smo odvzeli v ~asovnih zaporedjih 10, 20 in 30 minut. Pri vsakem odvzemu smo jih veino gasili v vodi, da bi ohranili med mejanjem nastalo mikrostrukturo. Druge smo po-asi ohlajali do sobne temperature, da bi ugotovili, kako se porazdelijo delci SiC v osnovi zlitine AISi7.

Odvzete vzorce smo nato uporabili za metalografske preiskave, ki smo jih opravili z elektronskim mikroskopom, ki je bil opremljen z analizatorjem EDS.

### **2.2 Izdelava aluminijevih kompozitov, utrjenih z 10 µm delci SiC**

Pri izdelavi kompozitov smo upoštevali raziskane parametre mikrostrukture in tiksotropnega ulivanja iz zgornjega poglavja.

Vsaka od treh aluminijevih zlitin je bila pretaljena pri 640°C in nato prelita v grafitni lonec eksperimentalne naprave, kjer je potekalo mehansko mečanje taline v začetni argonski atmosferi. Grafitni lonec je bil v napravi za mehansko mečanje segret na temperaturo zlitine. Poskuse smo naredili pri za-etihi hitrosti mečanja 600 vrtljajev na minuto. Med mečanjem smo vsako zlitino ohlajali s hitrostjo 2°C/min od temperature 640°C do 615°C in jo nato izotermno mečali 30 minut. Nato smo dodali 20 prost.% SiC, ki smo ga 'e prej 3 ure segrevali pri 615°C. Debelina oksidne plasti delcev je bila približno 0,09 µm. Porazdelitev velikosti delcev SiC, ki je bila ugotovljena v Talum-u Kidri-evo na napravi Malvern Instruments, prikazuje slika 3b. Vgradnja delcev SiC v zlitino je bila pri hitrosti mečanja 600 vrtljajev na minuto po-asma (zaradi majhne velikosti delcev, 10 µm), zato smo pove-ali hitrost mečanja na 1000 vrtljajev na minuto in pri tej hitrosti izotermno mečali kompozite 5 minut. S tem smo zagotovili vgradnjo 99% vseh delcev SiC. Hitrost smo nato zmanjšali na 600 vrtljajev na minuto in mečali kompozite (e nadaljnjih 15 minut). Nato smo odvzeli vzorce, ki smo jih gasili v vodi. Na ta na-in smo v glavnem ohranili porazdelitev delcev SiC v kovinski osnovi iz dvofaznega podro-ja. Kompozite smo nato med mečanjem kontinuirno ohlajali s hitrostjo 2°C/min do 605°C in jih nato ponovno izotermno mečali 20 minut.

## **3 REZULTATI IN DISKUSIJA**

### **3.1 Mikrostruktura kompozitov AlSi7, utrjenih z 10 in 20 prost.% 50 µm SiC**

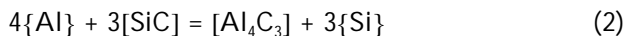
Na mejni površini med zunanjim plastjo delcev SiC in talino AlSi7 je verjetno prišlo do reakcije<sup>4</sup>:



Op. Oglati oklepaj [] pomeni trdno fazo, zaviti pa {} talino.

Nastali so aluminijevi oksidi, silicij pa je difundiral v talino. S tem smo dosegli neko stopnjo omožljivosti med talino AlSi7 in delci SiC.

V primeru, da bi se plast SiO<sub>2</sub> porabila, bi talina prišla v neposreden dotik s silicijevim karbidom in do nastanka stabilne spojine Al<sub>4</sub>C<sub>3</sub> po reakciji<sup>4</sup>:

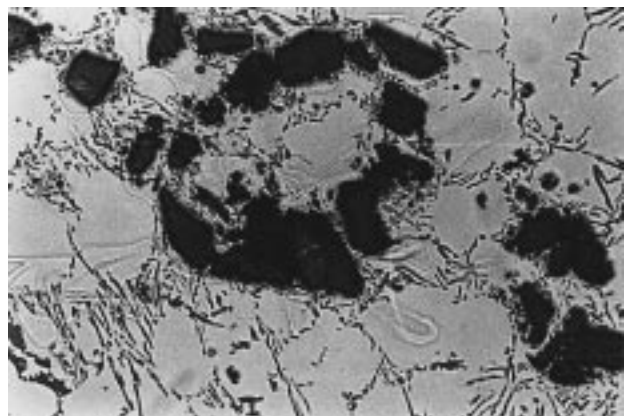


Pri natan-nem pregledu vzorcev na mejnih površinah med Al/SiC nismo našli aluminijevih karbidov, ker se zunanjia plast delcev SiC tj. SiO<sub>2</sub> ni porabila in tudi izdelavne temperature so bile nizke.

#### **3.1.1 Kompoziti, utrjeni z 10 prost. % 50 µm SiC**

Pri kompozitu, ki smo ga po-asi ohlajali, je prišlo do gravitacijskega posedenja delcev SiC, saj so bili relativno veliki, in s tem do njihove neenakomerne porazdelitve v osnovi (slika 4). Zaradi po-asmega ohlajevanja kompozita so se delci daljša zadrževali v talini, kar je omogočilo njihovo gravitacijsko posedenje, saj imajo nekoliko večjo gostoto kot talina. Tudi delno zlomljeni dendriti primarne faze  $\alpha_{\text{Al}}$  so se daljša zadrževali v talini, kar je omogočilo njihovo rast. Rozete primarne faze  $\alpha_{\text{Al}}$  so velikostnega razreda 60 µm. Zaradi po-asmega ohlajevanja se je preostala talina strjevala v normalni evtektik. Mikrostruktura osnove je bila tako grobo izoblikovana. Delci SiC so se vgrajevali v meddendritne prostore evtektika. Pri nadaljnjih raziskavah smo opustili raziskovanje vzorcev kompozita, ki bi ga po-asi ohlajali s temperature dvofaznega podro-ja do sobne.

Na sliki 5a podajamo mikrostrukturo kompozita, ki smo ga izotermo mečali 10 minut in nato gasili v vodi. Zaradi kratkega -asa mečanja ni prišlo do enakomerne porazdelitve delcev SiC v dupleks mikrostrukturo osnove, zato ne moremo govoriti o uspešni disperziji utrjevalnih delcev. Na pre-nem prerezu vzorca smo opazili, da je približno 80% površine osnove brez utrjevalnih delcev. Delci SiC so se vgrajevali v meddendritne prostore evtektika in posredno vplivali tudi na obliko primarnih zmesnih kristalov  $\alpha_{\text{Al}}$ . Tako so se globuliti  $\alpha_{\text{Al}}$  na starih mestih z delci SiC nekoliko deformirali in so imeli popa-eno elipsasto obliko. Globuliti primarne faze  $\alpha_{\text{Al}}$  so dvakrat manjši od delcev SiC in od globulitov vzorca, ki smo ga po-asi ohlajali do sobne temperature in so bili velikostnega razreda 15 µm. Raziskave so tudi pokazale,



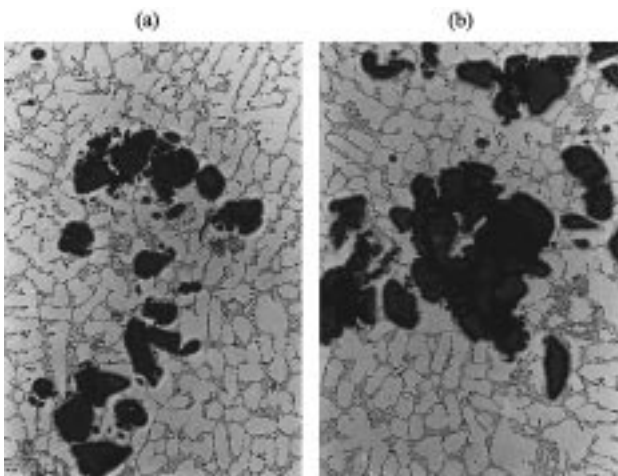
Slika 4: Mikrostruktura kompozita AlSi7-10 prost.% 50 µm SiC: izotermno mečanje pri temperaturi 615°C:  $t_{\text{meč}} = 10$  min,  $v_{\text{meč}} = 600$  vrtljajev na minuto, hlajenje: po-asi do sobne temp., pove-ava 250-krat

Figure 4: Microstructure of the composite AlSi7-10 vol.% 50 µm SiC at  $T = 615^\circ\text{C}$ , isothermally sheared for 10 min,  $v_{\text{stir}} = 600$  rpm, slow cooled, magnification 250x

da je prostorninski dele' delcev SiC 10% premajhen, da bi dobili dovolj dobro stopnjo enakomerne porazdelitve delcev SiC. Prav tako pa so delci SiC preveliki, da bi se med me{anjem enakomerno porazdelili v talini med globulite  $\alpha_{Al}$ . Na mejnih povr{inah med talino AlSi7 in delci SiC so nastali aluminijevi oksidi. **Slika 6** prikazuje porazdelitev elementov na mejni povr{ini, ki smo jih identificirali z elektronskim mikroskopom in analizatorjem EDS.

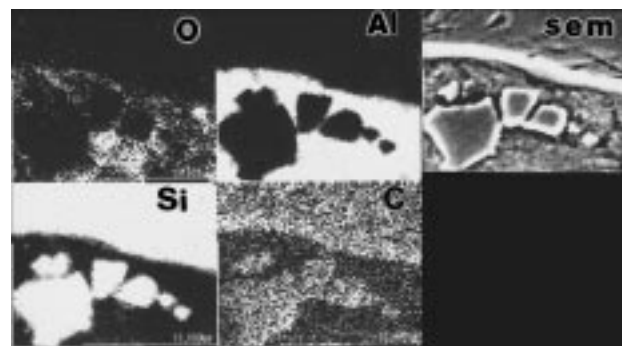
Mikrostruktura kompozita, ki smo ga izotermno me{ali 20 minut in nato gasili v vodi, je prikazana na **sliki 5b**. Na pre-nem prerezu vzorca ni enakomerne porazdelitve delcev SiC po povr{ini, tako da ne moremo govoriti o homogeni mikrostrukturi. To je posledica prevelikih delcev SiC in njihovega premajhnega prostorninskega dele'a. Ker so bili delci SiC relativno veliki je med me{anjem pri{lo tudi do njihovega drobljenja, kar je verjetna posledica predhodnih (initialnih) razpok na povr{ini delcev, topotnih obremenitev in abrazije pri me{anju. To prikazuje **slika 5b**, kjer v skupini delcev SiC opazimo veliko {tevilo drobnih delcev. V neposredni bli'ini so vidni globuliti  $\alpha_{Al}$  nepravilnih oblik. Da bi dobili bolj{o stopnjo enakomerne porazdelitve delcev SiC v osnovi, smo za nadaljnje raziskave uporabili manj{e delce SiC. Ti se med izdelavnim procesom niso drobili ter aglomerirali in tako neugodno vplivali na obliko primarnih zmesnih kristalov, kakor tudi na samo porazdelitev v dupleks mikrostrukturi osnove.

Mikrostruktura kompozita, ki smo ga me{ali 30 minut, je podobna tisti, kjer smo kompozit me{ali 20 minut. Zaradi premajhnega dele'a delcev SiC ne moremo govoriti o enakomerni porazdelitvi utrjevalnih elementov. Dalj{e me{anje je povzro-ilo {e pove-ano drobljenje in aglomeracijo delcev SiC. Za-el pa je te-i tudi proces Ostwaldovega zorenja delcev primarne faze  $\alpha_{Al}$ , kar je



**Slika 5:** Mikrostruktura kompozita AlSi7-10 prost.% 50  $\mu m$  SiC,  $v_{me}$  = 600 vrtljajev na minuto, izotermno me{anje pri 615°C,  $f_s$  P 12%: (a)  $t_{me}$  = 10 min, (b)  $t_{me}$  = 20 min; ga{enje v vodi; pove-ava 250-krat

**Figure 5:** Microstructure of the composite AlSi7-10 vol.% 50  $\mu m$  SiC at T = 615°C,  $f_s$  P 12%,  $v_{stir}$  = 600 rpm, isothermally sheared for: (a) 10 min, (b) 20 min; water quenched; magnification 250x



**Slika 6:** Porazdelitev elementov na mejni povr{ini med delcem SiC in osnovo AlSi7

**Figure 6:** Distribution of elements on interfaces between the particles of SiC and AlSi7 matrix

vplivalo na mikrostrukturo osnove. Tako smo na nekaterih mestih opazili do dvakrat ve-je globulite (velikostni razred 30  $\mu m$ ) od tistih v vzorcu, ki smo ga me{ali 20 minut. Proces Ostwaldovega zorenja je namre- {e pose-bej te'ko prepre-iti v primerih, ko je dele' utrjevalnih elementov majhen, saj to pomeni premalo ovir za zaustavitev procesa zorenja.

### 3.1.2 Kompoziti, utrjeni z 20 prost.% 50 $\mu m$ SiC

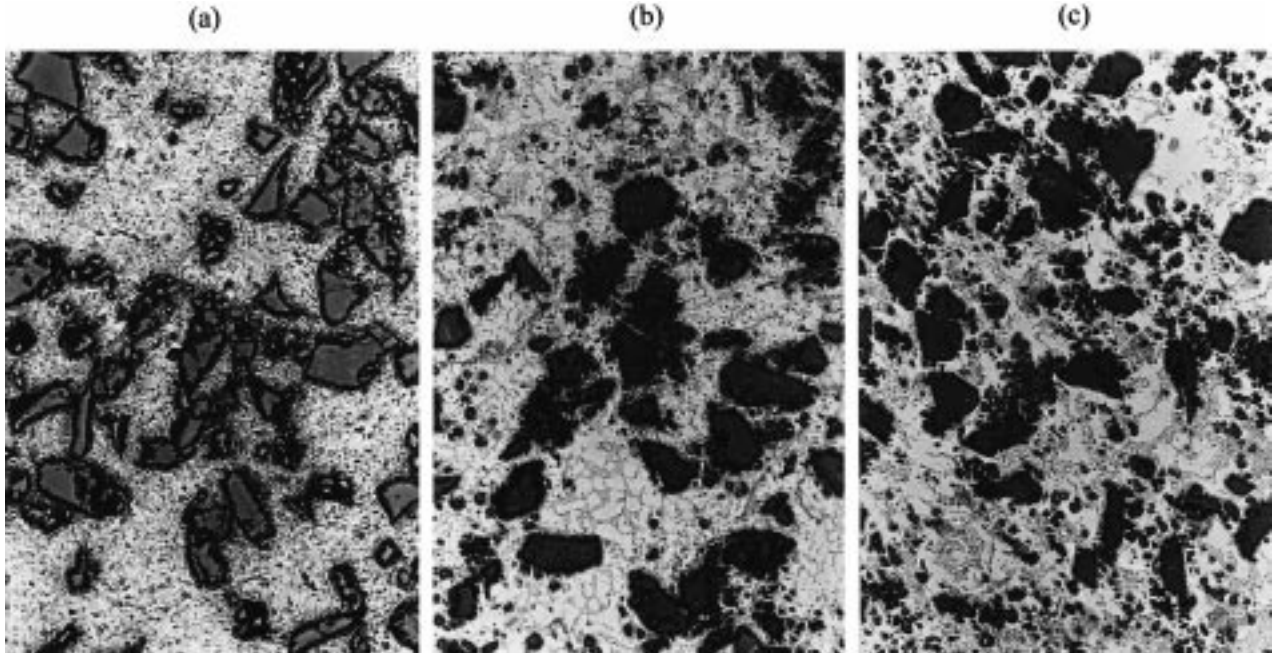
Pri izdelavi kompozitov z 20 prost.% SiC je v ve~ini primerov pri{lo do bolj{e stopnje porazdelitve elementov utrjevanja, saj je bilo v osnovi ve- delcev SiC.

Mikrostrukturo kompozita, ki smo ga me{ali 10 minut po tem, ko smo dodali delce SiC, prikazuje **slika 7a**. Vzorec smo gasili v vodi. Delci so se dokaj enakomerno porazdelili po osnovi in so se vgrajevali v meddendritne prostore evtektika. Globuliti primarne faze  $\alpha_{Al}$  so bili velikostnega razreda 15  $\mu m$ . Ker smo v tem primeru imeli ve-ji dele' SiC delcev, so se ti drobili, zato v mikrostrukturi opazimo veliko {tevilo majhnih delcev SiC. Posamezni imajo tudi po{kodovanov povr{ino.

Pre-ni prerez vzorca kompozita, ki smo ga me{ali 20 minut, prikazuje **slika 7b**. Zaradi dalj{ega ~asa me{anja so se delci SiC {e dodatno drobili in aglomerirali, kar je zmanj{alo stopnjo enakomerne porazdelitve. Globuliti primarne faze  $\alpha_{Al}$  so imeli enako velikost kot globuliti vzorca, ki smo ga me{ali 10 minut.

Podobno mikrostrukturo ima tudi kompozit, ki smo ga me{ali 30 minut. Tu in tam so vidni za-ekti procesa Ostwaldovega zorenja delcev primarne faze  $\alpha_{Al}$ . Tako so ti globuliti do dvakrat ve-ji kot pri drugih dveh vzorcih, kar pa seveda vpliva tudi na ni'jo stopnjo enakomerne porazdelitve delcev (**slika 7c**).

Da bi dobili homogeno mikrostrukturo kompozita, smo pri nadalnjnjih izdelavah utrjevali kompozite z 20% prostorninskim dele' em delcev SiC. S tem dele' em smo zagotovili zadostno koli-ino delcev, ki so se enakomerneje porazdelili po kovinski osnovi.



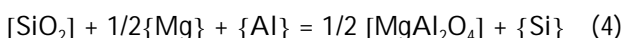
**Slika 7:** Mikrostruktura kompozita AISi7-20 prost.% 50  $\mu\text{m}$  SiC,  $v_{\text{meq}} = 600$  vrtljajev na minuto, gačenje v vodi s  $615^\circ\text{C}$ ,  $f_s \geq 12\%$ , izotermno mečanje: (a)  $t_{\text{meq}} = 10$  min, (b)  $t_{\text{meq}} = 20$  min, (c)  $t_{\text{meq}} = 30$  min; pove-ava 250-krat

**Figure 7:** Microstructure of the composite AISi7-20 vol.% 50  $\mu\text{m}$  SiC at  $T = 615^\circ\text{C}$ ,  $f_s \geq 12\%$ ,  $v_{\text{stir}} = 600$  rpm, water quenched, isothermally sheared for: (a) 10 min, (b) 20 min, (c) 30 min; magnification 250x

### 3.2 Mikrostruktura aluminijevih kompozitov, utrjenih z 20 prost.% 10 $\mu\text{m}$ SiC

Pri nadaljnjih raziskavah smo 'eleli ugotoviti vpliv materiala osnove in temperature dvofaznega podro-ja na mikrostrukturo kompozita. Pri ugotavljanju tega vpliva smo izbrali materiale, ki so se razlikovali le pri enem ali dveh legirnih elementih. 'Eleli smo ugotoviti vpliv magnezija kot elementa, ki naj bi izboljšal omo-ljivost med delci SiC in talino, ter stroncija, s katerim modificiramo aluminijeve zlitine, ki imajo ve-ji dele' silicija, da dobimo drobno evtekti-no mikrostrukturo. Pri raziskavi mikrostrukture kompozitov v prvem delu smo namre-ugotovili, da pri strjevanju potiskajo rasto-i globuliti  $\alpha_{\text{Al}}$  pred seboj delce SiC, ki se nakopi-ijo v meddendritnih prostorih evtektika.

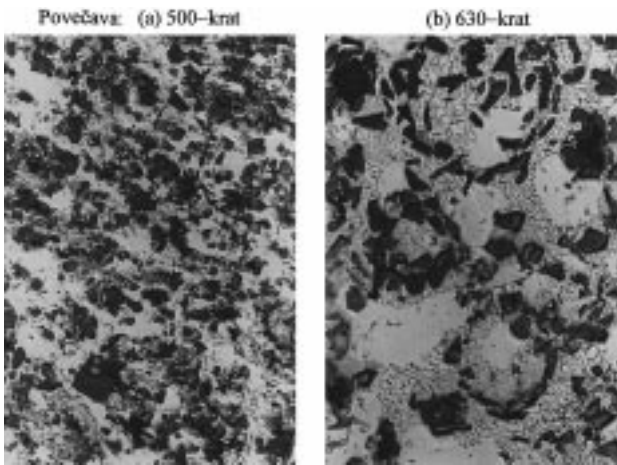
Pri izdelavi kompozitov, katerih osnova je vsebovala majhen dele' magnezija, so nastali tevilni reakcijski produkti na mejni povr{ini med talino in SiC delci. Prevladovale so verjetno naslednje reakcije<sup>4</sup>:



#### 3.2.1 Kompoziti AISi7, utrjeni z 20 prost.% 10 $\mu\text{m}$ SiC

Mikrostrukturo kompozita, gačenega s temperaturom  $615^\circ\text{C}$ , prikazuje **slika 8a**. Da bi ugotovili, kam se bodo vgradili delci SiC, smo vzorec gasili v vodi. Z mikroplosnetka je razvidno, da so se delci namestili v medden-dritne prostore evtektika. V talini ni bilo magnezija, zato smo na mejnih povr{inah na{li aluminijeve okside, kot pri kompozitih, obravnavanih v prvem delu ~lanka. Ker so imeli delci SiC dovolj debelo oksidno plast, je bilo omo-enie med talino in njihovo povr{ino dobro. Na mejnih povr{inah nismo opazili poroznosti. Kot so pokazali rezultati raziskav mikrostrukture, se delci niso posedali na dno, ampak so se zelo enakomerno razporedili po osnovi. Zaradi majhne velikosti delcev SiC se globuliti primarne faze  $\alpha_{\text{Al}}$  niso deformirali v tak{ni meri kot pri kompozitih, ki so bili utrjeni z delci velikostnega razreda 50  $\mu\text{m}$ .

Ko smo kompozit nato med me{anjem kontinuirno ohlajali s hitrostjo  $2^\circ\text{C}/\text{min}$  do  $605^\circ\text{C}$  in ga s hitrostjo 600 vrtljajev na minuto izotermno me{ali {e 20 minut, smo dobili mikrostrukturo, ki jo prikazuje **slika 8b**. Zaradi dalj{ega ~asa me{anja in ni'je temperature dvofaznega podro-ja so potekali v mikrostrukturi osnove procesi, zna-ilni za tiksotropne materiale. Zaradi ve-jega dele' a trdne faze nismo mogli prepre-iti sferoidizacijo dendritov in nastanek grobo izoblikovane mikrostrukture. Izmerili smo, da je velikost primarnih zmesnih kristalov  $\alpha_{\text{Al}}$  do trikrat ve-ja kot pri vzorcu, ki smo ga od-vzeli pri  $615^\circ\text{C}$ . Globuliti so tako velikostnega razreda



**Slika 8:** Mikrostruktura kompozita AISi7-20 prost.% 10  $\mu\text{m}$  SiC,  $v_{\text{meq}} = 600$  vrtljajev na minuto,  $t_{\text{meq}} = 20$  min, gačenje v vodi s temperature: (a) 615°C,  $f_s \geq 12\%$ ; (b) 605°C,  $f_s \geq 30\%$

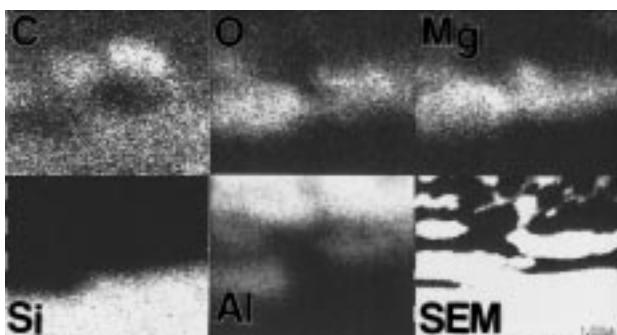
**Figure 8:** Microstructure of the composite AISi7-20 vol.% 10  $\mu\text{m}$  SiC,  $v_{\text{stir}} = 600$  rpm, isothermally sheared for 20 min, water quenched from: (a) 615°C,  $f_s \geq 12\%$ ; (b) 605°C,  $f_s \geq 30\%$

40  $\mu\text{m}$ . Pojav Ostwaldovega zorenja delcev primarne faze  $\alpha_{\text{Al}}$  narača z naračajo-im deležem trdne faze kot posledica veje interakcije delcev primarne faze  $\alpha_{\text{Al}}$  in ga ne moremo v celoti preprečiti. Delci SiC so sicer ovira za ta proces, ker pa le-ti niso popolnoma zapolnili meddendritnega prostora, je v nekaterih območjih proces neovirano napredoval. V dupleksni mikrostrukturi osnove so bila mesta, ki niso vsebovala delcev SiC.

Delež aglomeriranih delcev SiC je bil zelo nizek.

### 3.2.2 Kompoziti AISi7Mg, utrjeni z 20 prost.% 10 $\mu\text{m}$ SiC

Osnovo AISi7Mg smo uporabili, ker ima magnezij visoko afiniteto do kisika, aluminija ter silicija in ker smo priakovali dobro omočljivost z delci SiC. Plast  $\text{SiO}_2$  na zunanjih površinah delcev SiC je kemijsko reagirala z magnezijem iz taline (glej kemijske reakcije 4-7) in na mejni površini z njim, poleg aluminijevih so nastali tudi magnezijevi oksidi. **Slika 9** prikazuje porazdelitev elementov na mejni površini med talino in SiC delci. Ker smo imeli v osnovi manj kot 1,1 mas.% Mg, so nastali



**Slika 9:** Porazdelitev elementov na mejni površini med delcem SiC in osnovo AISi7Mg

**Figure 9:** Distribution of elements on interfaces between the particle of SiC and AISi7Mg matrix

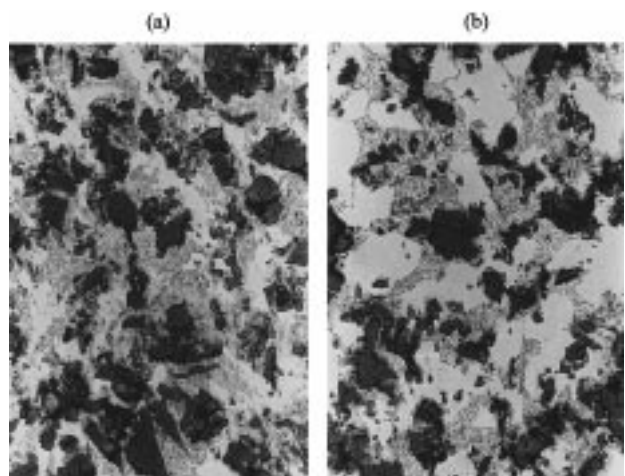
$\text{MgAl}_2\text{O}_4$  oksidi, skladno z ugotovitvami Lloyda in njegovih sodelavcev<sup>4</sup>, ki so te vrste oksidov identificirali z elektronsko difrakcijo.

Mikrostrukturo kompozita, ki smo ga odvzeli pri 615°C, prikazuje **slika 10a**. Tudi tukaj so se delci SiC vgrajevali v meddendritne prostore evtektika in se porazdelili dokaj enakomerno po osnovi. Mikrostruktura je podobna kompozitni z osnovno AISi7. Razlika obstaja le v reakcijskih produktih na mejnih površinah.

Kompozit, ki smo ga mečali pri 605°C, ima grobo izoblikano mikrostrukturo. Nekateri globuliti primarne faze  $\alpha_{\text{Al}}$  so začeli rasti, drugi pa so se raztapljali, s tem pa se je zmanjšala skupna energija sistema. Ker pa so rasteči globuliti pred seboj potiskali delce SiC, so se ti začeli na nekaterih mestih aglomerirati. Taki delci so zato deformirali nekatere globulite, ki so nepravilnih oblik. To prikazuje **slika 10b**. V mikrostrukturi je prisotnih veliko aglomeriranih delcev SiC, kar zmanjšuje stopnjo njihove enakomerne porazdelitve.

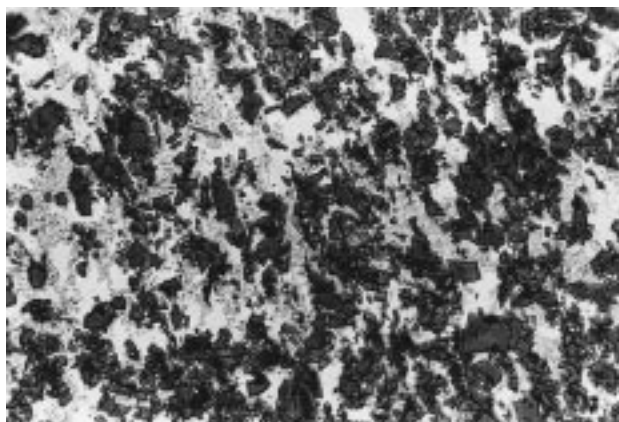
### 3.2.3 Kompoziti AISi7MgSr, utrjeni z 20 prost.% 10 $\mu\text{m}$ SiC

Pri teh kompozitih smo raziskali vpliv stroncija na porazdelitev delcev SiC v meddendritnih prostorih evtektika. Mikrostrukturne raziskave so pokazale, da so se delci SiC vgrajevali podobno kot pri osnovah brez stroncija, le da je tu evtektična mikrostruktura bolj drobnozrnata. Zato je razporeditev delcev SiC v meddendritnih prostorih evtektika nekoliko enakomernejša. Na mejnih površinah so nastali reakcijski produkti kot pri kompozitu AISi7Mg-20 prost.% 10  $\mu\text{m}$  SiC. Mikrostruktura osnove je tudi pri nižji temperaturi 605°C drobnozrnata (**slika 11**). Procesi zorenja delcev primarne faze  $\alpha_{\text{Al}}$  v tej osnovi niso tako napredovali kot pri drugih dveh osnovah.



**Slika 10:** Mikrostruktura kompozita AISi7Mg-20 prost.% 10  $\mu\text{m}$  SiC,  $v_{\text{meq}} = 600$  vrtljajev na minuto,  $t_{\text{meq}} = 20$  min, gačenje v vodi s temperature: (a) 615°C,  $f_s \geq 12\%$ ; (b) 605°C,  $f_s \geq 30\%$ ; povečava 630-krat

**Figure 10:** Microstructure of the composite AISi7Mg-20 vol.% 10  $\mu\text{m}$  SiC,  $v_{\text{stir}} = 600$  rpm, isothermally sheared for 20 min, water quenched from: (a) 615°C,  $f_s \geq 12\%$ ; (b) 605°C,  $f_s \geq 30\%$ ; magnification 630x



**Slika 11:** Mikrostruktura kompozita AISi7MgSr-20 prost.% 10 µm SiC,  $v_{\text{meč}} = 600$  vrtljajev na minuto,  $t_{\text{meč}} = 20$  min, gašenje v vodi s temperaturom  $605^{\circ}\text{C}$ ,  $f_s \geq 30\%$ ; pove-ava 500-krat

**Figure 11:** Microstructure of the composite AISi7MgSr-20 vol.% 10 µm SiC,  $v_{\text{stir}} = 600$  rpm, isothermally sheared for 20 min, water quenched from  $605^{\circ}\text{C}$ ,  $f_s \geq 30\%$ ; magnification 500x

#### 4 SKLEPI

Raziskave mikrostrukture kompozitov AISi7-SiC, izdelanih po postopku tiksotropnega ulivanja, so pokazale, da je enakomerna porazdelitev SiC delcev v osnovi mo-eno odvisna od velikosti in oblike delcev, prostorninskega dele' a delcev, ~asa me{anja in hitrosti ohlajevanja s temperaturom dvofaznega podro-ja.

Delci SiC morajo biti ~im manj{i ( $\leq 10$  µm), ~e 'elimo dobiti zadovoljivo stopnjo njihove porazdelitve po osnovi.

Za utrjevanje aluminijevih osnov pri hitrosti me{anja 600 vrtljajev na minuto je potreben prostorninski dele' SiC delcev najmanj 20%. S tem dele' em zagotovimo zadostno koli-ino delcev, ki se bodo lahko enakomerno vgradili v skelet osnove.

Pomemben pa je tudi ~as me{anja pri dolo-eni temperaturi. Ugotovili smo, da z izotermnim me{anjem 20 minut dobimo dokaj homogeno in enakomerno porazdelitev delcev SiC v osnovi. Z dalj{im ~asom me{anja za-ne potekati proces Ostwaldovega zorenja delcev primarne faze  $\alpha_{\text{Al}}$ , kar pove-a velikost globulitov. ^e pa so

v osnovi prisotni {e previliki delci SiC, se za-nejo ti zaradi predolgega ~asa me{anja drobiti in skepljati, kar pa tudi neugodno vpliva na njihovo homogeno porazdelitev.

Za dosego drobne mikrostrukture je pomembna tudi hitrost ohlajevanja s temperaturom dvofaznega podro-ja do sobne. Z veliko hitrostjo ohranimo med me{anjem nastalo porazdelitev delcev SiC v osnovi, hkrati pa dobimo tudi drobno mikrostrukturo osnove, saj procesi rasti zlomljenih dendritov primarne faze  $\alpha_{\text{Al}}$  ne morejo pote-i.

Rezultati raziskav vpliva materiala osnove in temperature dvofaznega podro-ja na mikrostrukturo kompozita in porazdelitev delcev SiC so naslednji:

1) Pri osnovi AISi7Mg smo opazili izbolj{ano vgradnjo delcev SiC v talino. Delci SiC so se dobro omo-ili in enakomerno porazdelili v poltestasto stanje taline. Na sti-nih povr{inah med osnovno in delci SiC so nastali aluminijevi in magnezijevi oksidi. Ko pa smo za osnovu uporabili zlitino AISi7MgSr, smo dobili zelo drobno mikrostrukturo tudi pri ni'ji temperaturi dvofaznega podro-ja.

2) Enakomerna porazdelitev delcev SiC je mo-eno odvisna od temperature v dvofaznem podro-ju. Pri ve-jem dele' u trdne faze (tj. ni'ji temperaturi) ob-utno nara{~a vpliv Ostwaldovega zorenja primarne faze. Osnova je grobozrnata, kar vpliva tudi na razporeditev delcev SiC v meddendritnih prostorih evtektika. Rasto-i globuliti  $\alpha_{\text{Al}}$  potiskajo pred seboj delce SiC, ki se zato skepljajo in s tem zmanj{ujejo stopnjo enakomerne disperzije po osnovi.

#### 5 LITERATURA

<sup>1</sup> Flemings Merton C.: Behavior of Metal Alloys in the Semisolid State; *Metallurgical Transactions B*, 22B (1991) june

<sup>2</sup> Iseki T., Kameda T. and Maruyama T., *J. Mater. Sci.*, 19 (1984) 1692-1698

<sup>3</sup> Rudolf R., Kri'man A.: Vpliv procesnih parametrov pri postopku thixocasting na mikrostrukturo zlitine AISi7, *Kovine Zlitine Tehnologije*, 31 (1997) 1-2, 29-33

<sup>4</sup> D. J. Lloyd, H. P. Laga{e and A. D. McLeod: Controlled Interphases in Composite Materials, *Proc. 3rd Int. Conf. on Composite Interfaces (ICC-III)*, Cleveland, OH, May 21-24, 1990, Hatsou Ishida, ed., Elsevier Science Publishing Company, Inc., 1990, 359-76